

III-A 65 サンプラー内の乱れの程度の異なる試料を用いた原位置の q_u の推定

防衛大学校（正）正垣孝晴・三輪和美・○丸山仁和

1. はじめに

直径 $d = 15\text{mm}$ 、高さ $h = 35\text{mm}$ の S 供試体¹⁾ を用いて、攪乱の程度の異なる試料の q_u とせん断前のサクションの最大値 S_o を測定して、 $q_{u(1)}$ で示す原位置の q_u を推定する方法を示した²⁾。しかし、この検討においては現地から採取した乱さない試料に人工的に攪乱を与える方法を採用したために、実務への適用に難点があった。

本稿では、通常の方法でサンプラーに生じたサンプラー内の乱れの程度の異なる試料に対し、先に示した同じ方法²⁾ を用いて $q_{u(1)}$ 値の推定の可能性を検討した。

2. 供試土

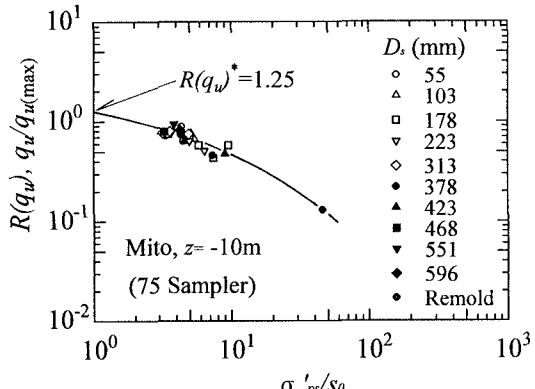
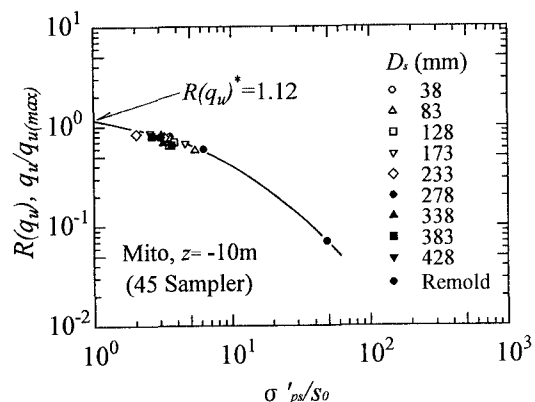
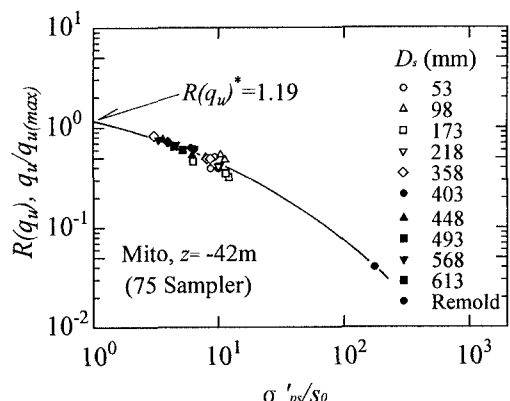
供試土は、水戸市の沖積低地から採取した乱さない粘性土である。採取深度 z は、沖積・洪積粘土に対し、それぞれ GL. -10m, GL. -42m である。沖積粘土に対しては、小径倍圧型水压サンプラー（以後、45サンプラー）³⁾ と試料径 75mm の通常の水压サンプラー（以後、75サンプラー）を用いた。また、洪積粘性土に対しては、45サンプラーとローリー式 2 重管サンプラーを用いて試料を採取した。45 と他のサンプラーによる試料採取は、3m の水平距離を置いて同じ深度から採取した。また、3m の水平距離を持つこれらの試料の指數的性質に有意差がないことは別途⁴⁾ 確認している。

3. q_u と S_o を用いた $q_{u(1)}$ の推定

試料が攪乱を受けた場合の q_u の変化は、 S_o に支配される⁵⁾ ため、サンプラー内の乱れの程度の異なる複数個の供試体の S_o と q_u を測定して、 S_o に対する完全試料中に発生する有効圧 σ'_{ps} の比が 1 (完全試料の有効圧) となるときの $R(q_u)^*$ を外挿して $q_{u(1)}$ を求める。ここで、 σ'_{ps} は式(1)、 $R(q_u)$ は、 q_u の最大値 $q_{u(max)}$ に対する各供試体の q_u の比である。

$$\sigma'_{ps} = p_v \{ K_o + A_s (1 - K_o) \} \quad (1)$$

ここで、 p_v : 有効土被り圧、 K_o : 静止土圧係数、 A_s : Skempton の間隙圧係数である。 A_s は u/q_u と

図-1 $R(q_u)$ と σ'_{ps}/S_o の関係図-2 $R(q_u)$ と σ'_{ps}/S_o の関係図-3 $R(q_u)$ と σ'_{ps}/S_o の関係

している。 u は q_u に相当するひずみ下の間隙水圧の値である。また、 K_0 は0.5とした。

沖積の75と45サブラー、洪積の75サブラーに対する $R(q_u)$ と σ'_{ps}/S_o の関係を、それぞれ図-1, 2, 3に示す。これらの図のプロットは、サブラーの刃先からの距離 D_s と練り返し土によって記号を変えている。試料の乱れによって $R(q_u)$ が小さくなると、 σ'_{ps}/S_o は大きくなる。試料の乱れによって σ'_{ps}/S_o が大きくなるのは、乱れによって S_o が小さくなるのが理由である⁵⁾。これらのプロットは、エークな1つの曲線で近似することができる。 $q_{u(1)}$ は曲線が $\sigma'_{ps}/S_o=1$ となるときの $R(q_u)^*$ を $q_{u(max)}$ に乗じて得る。

実務での便法として、地盤内の主要素が持つ平均圧密圧力 p_m を $2p_v/3$ ($K_0=0.5$) と仮定し、 S_o に対する p_m の比についても検討した。以上的方法で推定した $q_{u(1)}$ 、実測した $q_u/2/\sigma'_{ps}$ 、 $q_{u(1)}/2/\sigma'_{ps(1)}$ 、Skemptonによる関係式 ($c/p=0.11+0.0037I_p$)⁶⁾の結果を表-1に示す。ここで σ'_{ps} 、 $\sigma'_{ps(1)}$ は、それぞれ標準圧密試験による先行圧密圧力、体積ひずみから得た原位置の σ'_{ps}^{**} を意味する。表-1の主要な結論は以下の3点に要約できる。

- ① σ'_{ps}/S_o と p_m/S_o から得た $q_{u(1)}$ に有意差はない。すなわち、後者は実務の便法として許される。
- ② 沖積の75サブラーで得た試料は、生物痕の存在に起因した試料の乱れが確認されている⁴⁾。乱れの程度やサブラーの異なる試料から得た $q_{u(1)}$ は同様な値

を与えていている。③ 載荷・除荷の応力下で地盤が十分に安定した場合の強度増加率は、約0.2~0.5の範囲であることが報告されている。 $q_{u(1)}/2/\sigma'_{ps(1)}$ 値は、 $q_u/2/\sigma'_{ps}$ 、Skemptonによる c/p 値との比較においてもリーズナブルであると判断される。

4. おわりに

A_s や K_0 値の評価法に関する検討、補正値に対する検証は今後の課題であるが、サブラー内の乱れの程度の異なる試料の q_u と S_o から $q_{u(1)}$ の推定の可能性が示された。

参考文献

- 1)正垣、第40回地盤工学シンポジウム論文集、pp. 287-294、1995.
- 2)正垣ら、サンアーリングに関するシンポジウム発表論文集、pp. 119-126、1995.
- 3)正垣、土と基礎、Vol. 44、No. 4、pp. 49、1996.
- 4)正垣ら：小径倍圧型水圧ピストンサブラーで採取した試料の強度特性、第31回地盤発表会、1996。
- 5)Shogaki, T., Soils and Foundations, Vol. 35, No. 1, pp. 169-171, 1995,
- 6)Skempton, A. W.: Discussion on "The planning and design of the New Hong Kong Airport, Proc. Inst. Civil Engrs., Vol. 7, pp. 305-307, 1957.
- 7)Shogaki, T.: A method for correcting consolidation parameters for sample disturbance using volumetric strain, Soils and Foundations, Vol. 36, No. 3, in printing, 1996.
- 8)正垣・吉田：載荷・降荷の応力履歴を受けた地盤の強度・圧密特性、第30回土質発表会、pp. 173-176、1995.

表-1 原位置の非排水強度と強度増加率

試 料	サブラー	σ'_{ps} (kPa)	I_p (%)	$q_{u(max)}$ (kPa)	S_o (kPa)	$R(q_u)$	$q_{u(1)}$ (kPa)	σ'_{ps} (kPa)	$\sigma'_{ps(1)}$ (kPa)	$\frac{q_{u(max)}}{2\sigma'_{ps}}$	$\frac{q_{u(1)}}{2\sigma'_{ps(1)}}$	c/p	
沖 積 (z=-10m)	45	85.7	30	117	-26	1.12	130	186	205	0.315	0.317	0.221	
						1.10	129				0.315		
	75		31	103	-17	1.25	129	108	130	0.477	0.496	0.225	
						1.27	131				0.504		
洪 積 (z=-42m)	45	333.8	33	346	-84	1.24	429	294	465	0.588	0.461	0.232	
						1.25	431				0.463		
	75		32	360	-58	1.19	428	453	472	0.397	0.453	0.228	
						1.18	425				0.450		

$R(q_u)^*$ ：補正値（上段： σ'_{ps}/S_o 法、下段： p_m/S_o 法）、1)：Shogaki⁷⁾による、2)：Skemptonの関係式⁶⁾による